

Nr 2

2007

KRZYSZTOF GRADKOWSKI¹⁾

PODATNOŚĆ WARSTW MODELOWEGO PODŁOŻA NAWIERZCHNI A EFEKT WZMOCNIEŃ GEOTEKSTYLIAMI Cz. I

STRESZCZENIE. Artykuł przedstawia wyniki przeprowadzonych pomiarów wstępnych, modułu odkształcenia jako miary podatności dwojakich struktur podłoży nawierzchni drogowych. Pomiary przeprowadzono na odpowiednio sporządzonym poligonalnym poletku doświadczalnym. Porównawcze zestawienie wyników pozwoliło na ustalenie wniosków o istotnym znaczeniu dla dalszych badań i pomiarów oraz ważnych dla opisu konstrukcji podłoży nawierzchni drogowych. Pomiar podatności przez wolnozmiennie obciążenia statyczne nie potwierdził efektu wzmacnienia podłożą gruntowego nawierzchni drogowych przy zastosowaniu geowłókniny.

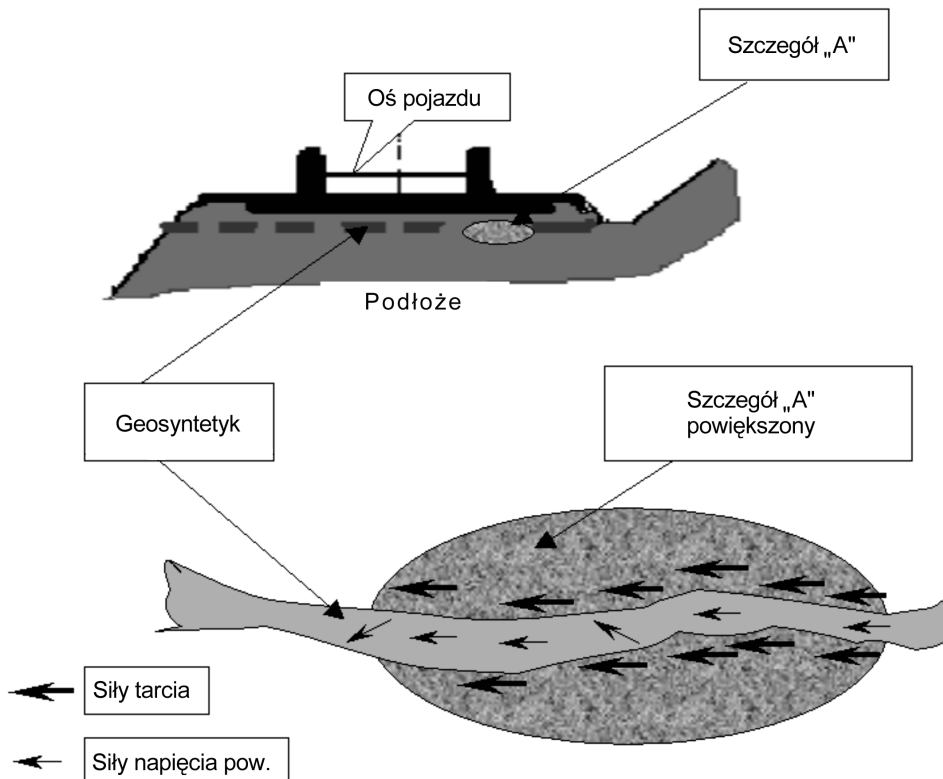
1. WPROWADZENIE

Problemem otwartym od wielu lat jest skuteczność wzmacnienia, czy też zmian niektórych parametrów bezpośredniego podłoża nawierzchni dróg samochodowych i szynowych w górnej strefie aktywnej ośrodka gruntowego. Wprowadzenie do podłoża fundamentowego nawierzchni, w strefie aktywnej budowli ziemnej, warstwy o istotnie różnych parametrach materiałowych, lub też pojedynczej przekładki geowłókniny w odpowiednio cienkiej i jednorodnej warstwie gruntu piaszczystego,

¹⁾ dr inż. – Instytut Dróg i Mostów Politechniki Warszawskiej

również zmienia parametry mechaniczne układu konstrukcyjnego podłożę gruntownawierzchnia. Przemawiają za tym też rozważania analityczne i próby formułowania algorytmów projektowych [1 - 3]. Dotyczy to zarówno nawierzchni szynowych jak i dróg samochodowych, przy czym pomiary tych parametrów powinny być i były wielokrotnie wykonane dla kompletnej konstrukcji podłożę gruntowego i nawierzchni danego rodzaju drogi.[4 - 5]. Z przeprowadzonych badań jak i dotychczasowych analiz można ustalić, że:

- a) Analiza i praktyka, oraz niektóre doświadczenia wskazują, że przy zastosowaniu geotekstylii w warstwach gruntów, występuje pewne wzmacnianie podłożę gruntowego, które może być efektem:
- rozciągania zbrojenia geotekstylii warstwy gruntowej, uzasadnianą między innymi analogią membranową napięcia powierzchni,
 - sił tarcia obu powierzchni geotekstylii, wewnętrz zbrojonej warstwy gruntowej, oraz obu tych czynników razem (rys.1);



Rys.1. Schemat ideowy sił wzmacniających w gruntowej warstwie z geolókniną
Fig.1. Idea schema of strengthening forces in the ground layer with geotextil

- b) Otwartym problemem jest, czy w istocie i dla jakich grubości warstw i rodzajów geotekstylii oraz gruntów, zakres tego wzmacnienia jest ewidentny;
- c) Pełną weryfikację hipotezy wzmacnienia warstw gruntowych przez przekładkę z geotekstylii, a w tym przypadku geowłókniny, może zapewnić jedynie bezpośredni pomiar odkształcalności podłoża i jego parametrów. Pomiar w podłożu rzeczywistej nawierzchni drogowej nastręcza na ogół dużo problemów technicznych, w związku z tym może być zastąpiony odpowiednim modelem uproszczonym.

Podstawowe pojęcia z metodologii wszelkich analiz i rewizji hipotez, wskazują na konieczność wyodrębnienia poszczególnych części z jednego układu, przy zachowaniu warunków otoczenia i spójności. I tak, skoro nie można wyodrębnić parametrów wpływu polepszenia i ewentualnego wzmacnienia pełnego układu warstw nawierzchni, można dokonać pomiaru określonych parametrów dla wyodrębnionych modeli samego podłoża.

2. CEL I ZAKRES POMIARÓW

2.1. ZAŁOŻENIA BADAWCZE

Podstawowym celem przeprowadzenia pomiarów było porównanie parametrów charakteryzujących podatność [6] różnych warstw i struktur podłoża nawierzchni drogowej, wraz ze sprawdzeniem efektu zastosowania geowłókniny. Pomiary przeprowadzono na poletku poligonalnym, zbudowanym zgodnie z założeniami technicznymi umożliwiającymi bezpośredni pomiar podatności. Dla maksymalizacji różnic i wpływów na mierzone parametry podatności różnych struktur podłoża nawierzchni na poletku, pomiaru dokonano dla dwóch stanów nie całkowitych zagęszczeń. Stany nie pełnego zagęszczenia umożliwiają fizyczną ekspozycję „efektu wzmacnienia” geosyntetyku i nie odkształcalności podłoża betonowego. Pomiary wskaźnika zagęszczenia wykonano według normy, metodą bezpośrednią oznaczając I_s .

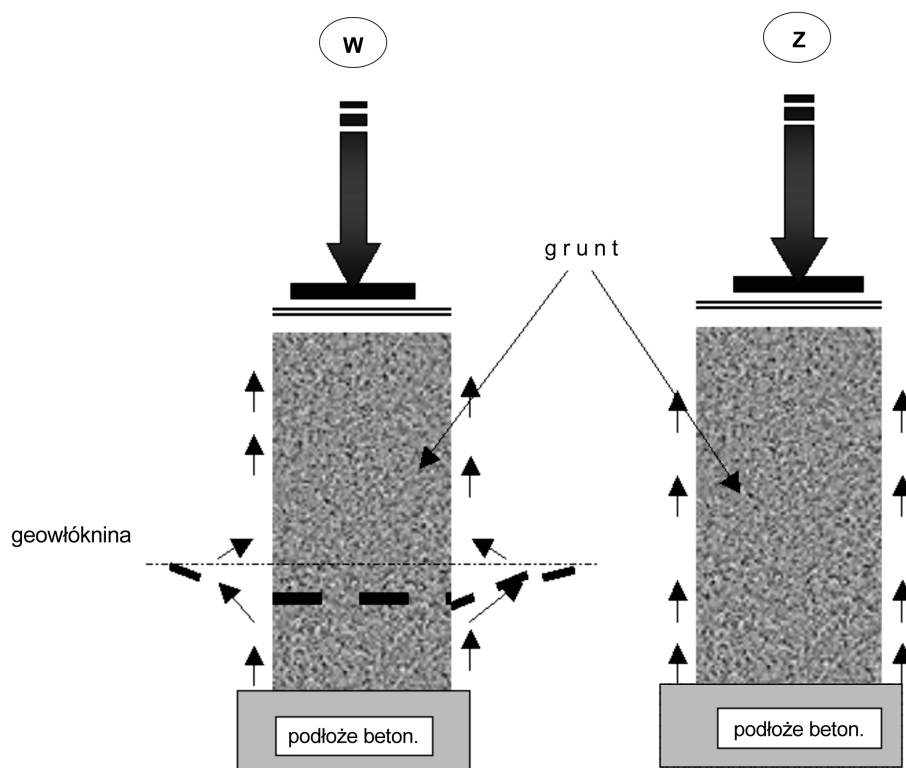
2.2. ZASADY POMIARÓW W PÓŁTECHNICZNEJ SKALI MODELOWEJ

Podejmowany program pomiarów porównawczych na poletku doświadczalnym powinien spełniać następujące warunki, które wynikają z ogólnych zasad tworzenia analogów fizyko-mechanicznych [7 - 8]. Do warunków tych należą:

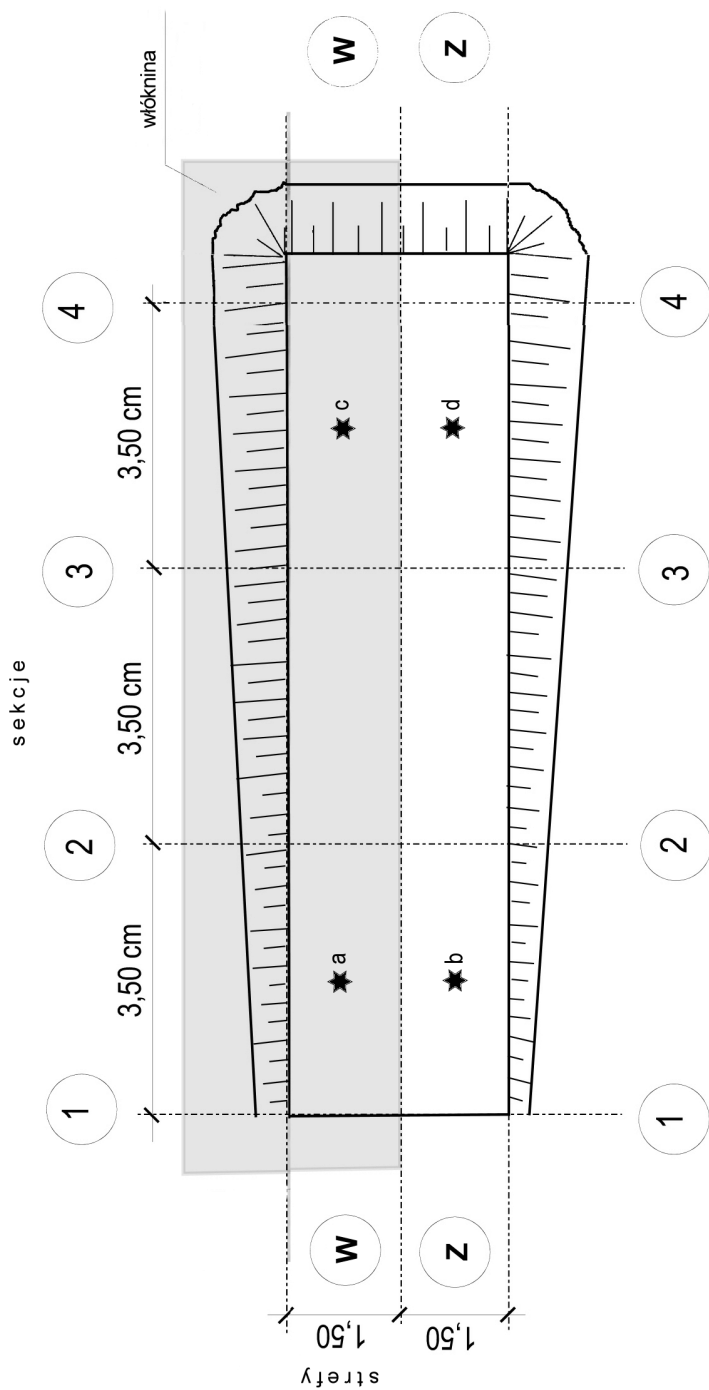
1. Jednorodności badanych struktur warstwowych podłoża nawierzchni.
2. Selektyność, ograniczenie zmiany jednego parametru układu [tu; grubością] rodzaju materiałów podłoża nawierzchni i pomiaru jednego rodzaju parametru.
3. Stan podatności i zagęszczenia pełnych struktur podłoża nawierzchni powinien zapewnić mobilizację sił tarcia geowłókniny w gruncie i powierzchniowych sił napięcia membranowego geowłókniny.

4. Pełnej skali technicznej (1:1) układu samego podłożu gruntowego nawierzchni.
5. Pół-techniki polegającej na zbliżonej technologii przygotowaniu gruntowego układu modelowego, bez obciążenia technicznego odwzorowującego

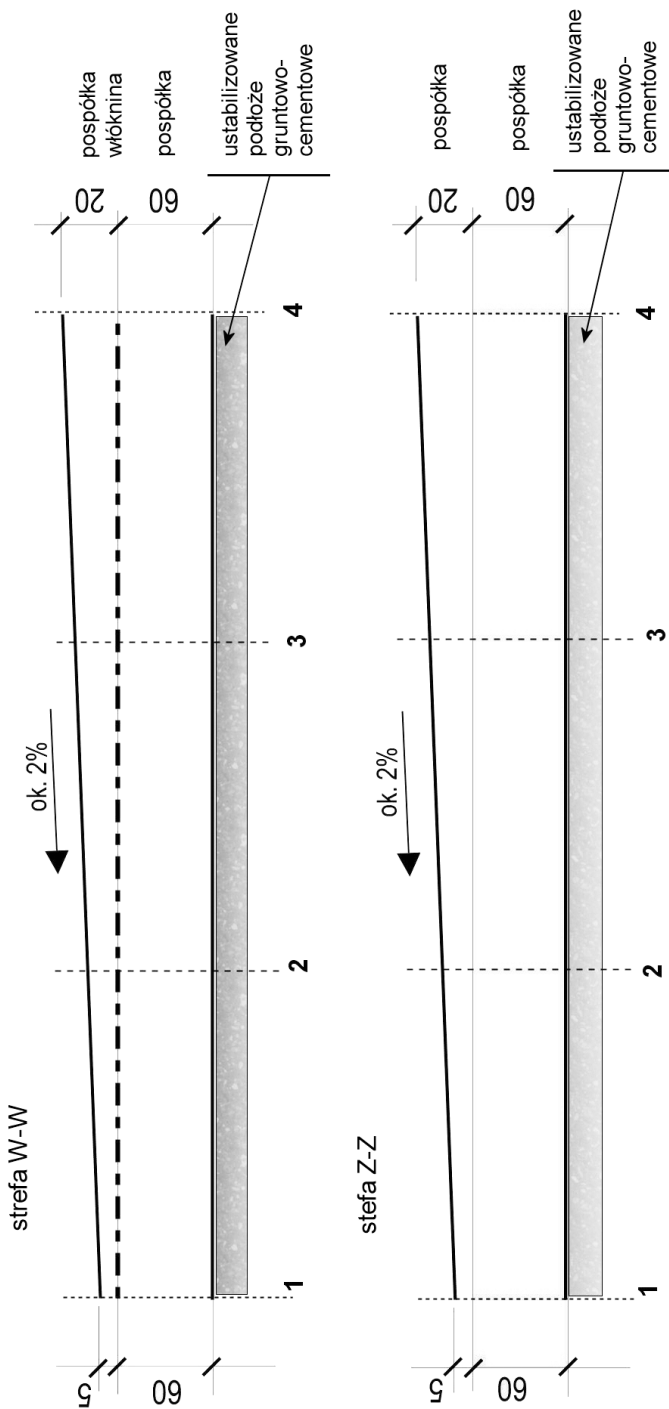
Ograniczenia te i warunki sprowadzają się do określenia rozkładu sił elementarnych i zachowań mechanicznych, oraz fizycznych, elementarnego układu „wyodrębnionego” przedstawionego na rysunku 2. Całość szerzej zakrojonego programu badawczopomiarowego, finansowanego ze środków własnych autora, podzielono na trzy etapy, pomiarów wstępnych, zasadniczych i pomiarów końcowych. W każdym z etapów dokładano starań o jak największą porównywalność wyników pomiarów. Wszystkie wymienione od 1 do 5 warunki miał spełniać przygotowany na fragmencie modelu podłożu budowanej nawierzchni drogowej, układ stopniowej redukcji grubości warstw, stanowiący poligonowe poletko pomiarowe, jak na rysunkach 3 i 4. W etapie wstępny, tu referowanym, w dwóch pasmach pomiarowych, wykorzystano jako dolną warstwę, sztywną płytę betonową dawnej podbudowy stabilizacji cementem, z przekładką geowlókniny warstwy gruntowej – element „W”. Element „Z” jak obok, lecz bez geowlókniny (rys. 2).



Rys.2. Analog fizyczny rozkładu sił elementarnych
Fig.2. Physical analogue of the force distribution



Rys. 3. Plan poligonowego polektka pomiarowego
Fig.3. Plan of the small testing field



Rys.4. Przekroje podłużne poletką w strefach
Fig.4. Cross sections along the testing fields in two strips

3. PODATNOŚĆ PODŁOŻY NAWIERZCHNI DRÓG

Przy określaniu doświadczalnym skuteczności stosowania poszczególnych warstw gruntowych, oraz warstw z geotekstyliami należy ustalić konsekwentnie stosowane kryterium pomiaru lub miarę. Założono, że skuteczną w takim przypadku może być podatność podłoża nawierzchni, która może mieć różne formy miar, w rodzaju modułów odkształceni, modułów deformacji objętościowej, wielkości osiądań itp. [9]. Ogólnie, jest to zdolność warstwy gruntowej do odkształceni, sprężystych i trwałych, pod wpływem obciążen. W gruntoznawstwie drogowym, przy projektowaniu nawierzchni sztywnych wyznacza się tak zwany współczynnik podatności podłoża k_z :

$$k_z = \frac{q}{s} , \quad (1)$$

gdzie:

q – jest naciskiem jednostkowym [$\text{kN} \cdot \text{m}^{-2}$],

s – osiadanie sprężyste podłoża gruntowego [m].

Standardową i powszechną miarą podatności podłoży gruntowych, a jednocześnie pośrednią miarą zagęszczenia jest moduł odkształceni E . Pomiar wykonyuje się zestawem aparatury VSS, według normy [10], przy pomocy stalowej płyty o średnicy 0,30 m. określając pierwotny moduł odkształceni E_1 i wtórny moduł odkształceni E_2 , oraz pochodny im wskaźnika odkształceni Io (stosunek E_2 / E_1) z zachowaniem procedury wstępnego obciążenia płytą. Pomiar ten można uznać za statyczny:

$$E_1 = \frac{3\Delta p_1 D}{4\Delta s_1} , \quad E_2 = \frac{3\Delta p_2 D}{4\Delta s_2} , \quad (2)$$

gdzie:

E_1 – pierwotny moduł odkształceni [MPa];

E_2 – wtórny moduł odkształceni [MPa];

$\Delta p_{1,2}$ – różnica obciążen w pierwszym i drugim cyklu obciążenia w zakresie 0,05 do 0,15 MPa w przypadku podłoża gruntowego - (0,15 do 0,25 MPa przy podłożu ulepszonym);

$\Delta s_{1,2}$ – przyrost przemieszczeń odpowiednio w 1 i 2 cyklu obciążenia, odpowiadający podanemu zakresowi obciążen;

D – średnica płyty pomiarowej.

Zależność pomiędzy współczynnikiem odkształcenia E gruntu można określić wykorzystując znany wzór Garbunowa-Posadowa:

$$\frac{s}{E} = \frac{q \cdot \omega \cdot B(1 - v^2)}{s} \quad \text{i} \quad E = \frac{q \cdot \omega \cdot B(1 - v^2)}{s}, \quad (3)$$

gdzie:

- q – obciążenie jednostkowe przekazywane przez powierzchnię płyty na pół-przestrzeń sprężystą [kN m^{-2}],
- B – szerokość płyty lub jej średnica [m],
- E – współczynnik odkształcenia,
- ω – współczynnik kształtu płyty, sztywności i miejsca punktu mierzonego osiadania.

Z powyższego wzoru jednoznacznie wynika, że odkształcalność podłożą pod wpływem nacisków, oraz jego podatność zależy w zasadniczym stopniu od kształtu powierzchni nacisku i charakterystyki nacisku. Kształt pola nacisku w formie prostokąta, który występuje w przypadku dróg szynowych może być w tym przypadku uwzględniony poprzez ω . W przypadku dróg szynowych, w podłożu nawierzchni mamy do czynienia z obciążającym kształtem wydłużonego prostokąta – podkładu i znacznie większymi obciążeniami. Stąd, charakterystyką podatności podłożą nawierzchni szynowej jest analogiczny współczynnik C , określany jako:

$$C = \frac{p}{s_{sr}} , \quad (4)$$

gdzie:

- p – średnie ciśnienie spodu podkładu [kN m^{-2}],
- s_{sr} – średnie, sprężyste osiadanie podkładu pod obciążeniem użytkowym [m].

Postać współczynnika odpowiada postaci wzoru (1) oraz związków (2) i (3).

W konstrukcjach dróg szynowych występuje też skala jakości podłożą nawierzchni, jako zespołu pryzmy podsypki i podłożą gruntowego, określająca jego jakość. Rozróżnia się podłożą; złe gdy $C = 2 \text{ kN m}^{-3}$, dostateczne gdy $C = 5 \text{ kN m}^{-3}$ i bardzo dobre gdy $C = 10 \text{ kN m}^{-3}$. Występuje zatem pełna analogia pojęć charakterystyki podatności obu rodzajów nawierzchni dróg, przy czym współczynniki k_z i C charakteryzują podatność podłoży nawierzchni tylko w zakresie sprężystym.

Szczególną miarą podatności jest kryterium odkształceń podłożą nawierzchni, stosowane w większości metod projektowania warstw nawierzchni [11]. Wyraża się ona następującą formułą:

$$\varepsilon_p = k (1 / N_{f,p})^m , \quad (5)$$

gdzie:

- ε_p – odkształcenie pionowe wywołane na górnej powierzchni podłoża gruntowego przez obciążenie osią, standardową;
- $N_{f,p}$ – liczba dopuszczalnych obciążzeń do osiągnięcia krytycznej głębokości kolejny;
- k, m – współczynniki empiryczne, które według kryterium Instytutu Asfaltowego są równe: $k = 1,05$; $m = 0,223$;

czyli

$$N_{fs} / N_{fj} = (\varepsilon_{pj} / \varepsilon_{ps})^{1/m} = (\varepsilon_{pj} / \varepsilon_{ps})^{4,484}, \quad (6)$$

gdzie:

- $\varepsilon_{pj}, \varepsilon_{ps}$ – odkształcenia wywołane na górnej powierzchni podłoża gruntowego odpowiednio przez obciążenie osią rzeczywistą (j) i standardową (s).

Zależność (6) jest zatem kryterium zmęczeniowym dla podłoża gruntowego nawierzchni, związanym ściśle z regułą Minera i nieco odległym od przedmiotu pomiarów i docekań.

4. POLIGONOWE POLETKO POMIARÓW PODATNOŚCI

W obrębie placu budowy skrzyżowania ulic Wołowskiej i Marynarskiej w Warszawie, w rejonie przystanku autobusowego ulicy Marynarskiej, wybudowano stosowny układ modelu warstw gruntowych, podłoża nawierzchni drogowej, według dokumentacji i własnym nakładem środków finansowych autora.

Do konstrukcji poletka użyto:

- piasek gruby, zbliżony do pospolitej, identyfikowany przez: $\rho_s = 2,65 \text{ g/cm}^3$; $W_p = 36\%$; $U = 11$, $w_{nos} = 14\%$,
- geowłókniny, nazowanej „pled” o parametrach: masa powierzchniowa 300 g/m^2 , wytrzymałość na rozciąganie wzdłuż pasma – 7 kN/m , siła na przebijanie (metoda CBR) – 2 kN , wydłużenie względne w poprzek pasma przy zrywaniu – 75% .

Pomiarów zagęszczenia dokonano według [10], metodą bezpośrednią oznaczając I_s . Pierwszą serię pomiarów wykonano dla stanu [I] – o zagęszczeniu $I_s = 0,97$, a drugą dla stanu [II] o zagęszczeniu $I_s = 0,98$. Dwa stany nie dogęszczenia, są zamierzone jako warunek punktu 2.3. i możliwość sprawdzenia hipotezy mobilizacji „efektu wzmacnienia” uwarstwienia podłoża nawierzchni – geowłókniną. Mała różnica wskaźnika zagęszczenia I_s może mieścić się w dokładności pomiarów. W tym przypadku różnica w zagęszczeniu była wyraźna.

5. ANALIZA UZYSKANYCH WYNIKÓW

Pomierzone moduły odkształcenia są pewną miarą podatności, zdolności do odkształceń pod wpływem obciążenia, tych samych układów warstw o różnej grubości i strukturze. Pospółka z „przekładką” geowłókniny – punkty a i c [strefa W-W] i pospółka bez geowłókniny – punkty b i d, [strefa Z-Z] na rys. 3. Jest to pomiar statyczny, obciążeń wolnozmiennych, wykonany w fazie pomiarów wstępnych, w którym różnice odkształcalności poszczególnych układów warstw, przy dwóch stanach nie dogęszczenia, sporządzonych z tych samych materiałów, lecz różnych grubości spodziewane były jako ewidentnie różne. Wyniki zestawione w tabelach 1 i 2 okazują się jednak bardzo zbliżone i porównywalne rzędem wielkości, nie wykazujące istotnych różnic. Okazuje się zatem, że „efekt wzmacnienia” układu warstwowego przez geowłókniny, jeżeli taki jest mierzalny, powinien być wykazany innym pomiarem. Niewielka ilość punktów pomiarowych, podyktowana była tym, że wjazd samochodu – przeciwwagi – wymagał kolejnej odbudowy struktury poletka doświadczalnego w poszczególnych sekcjach.

Tablica 1. Wyniki pomiarów modułu odkształcenia

Table 1. Results of tests – modulus of deformation, stage I

Nr pomiaru „VSS”	Pierwotny moduł odkształcenia E_1 [MPa]	Wtórny moduł odkształcenia E_2 [MPa]	Wskaźnik odkształcenia $I_o = E_2 / E_1$
nie zagęszczony stan I			
a	46,1	124,6	2,70
b	44,9	125,0	2,78
c	46,0	131,1	2,85
d	46,1	130,0	2,82

Tablica 2. Wyniki pomiarów modułu odkształcenia

Table 2. Test results – modulus of deformation, stage II

Nr pomiaru „VSS”	Pierwotny moduł odkształcenia E_1 [MPa]	Wtórny moduł odkształcenia E_2 [MPa]	Wskaźnik odkształcenia $I_o = E_2 / E_1$
nie zagęszczony stan II			
a	57,0	131,2	2,30
b	57,9	132,6	2,29
c	56,9	136,7	2,40
d	57,3	134,6	2,35

6. WNIOSKI

Na podstawie przeprowadzonych pomiarów i analizy zestawionych w tabelach 1 i 2 wyników można stwierdzić:

1. W przypadku gdy miarą podatności jest dokonany pomiar (VSS), statyczny moduł odkształcenia E_o , a więc obciążenia wolnozmienne, zmniejszenie podatności, czyli wzmacnienie podłożu nawierzchni geowłókniną, jest bardzo mało znaczące.
2. Pomierzone bezwzględne wartości modułów nie są miarodajne co do jakości sporzązonego podłożu nawierzchni, które nie spełnia wymagań normowych w tym zakresie. Dowodzą tylko niepełnych stanów zagęszczeń i nie najwyższej jakości materiału gruntowego użytego do doświadczeń. Stan ten był zamierzony dla wypełnienia celu badań.
3. Efekt wzmacnienia gruntowego układu warstw z użytą warstwą geowłókniny należy uznać za pomijalny i w tym przypadku nie zmierzony. Jeśli przyjęta miarą nośności może być podatność mierzona modułem odkształcenia, to przyrost nośności, czyli zmniejszona podatność jest zaledwie kilkuprocentowa i znikoma.
4. W przypadku układu warstw samego gruntu występuje niemal pełna proporcjonalność pomiędzy grubością warstwy gruntu, a wzrastającą podatnością. Największą podatność, czyli odkształcalność wykazuje 60 cm warstwa gruntu, przy pierwszym stanie niedogęszczenia.

Oczywistość niektórych wniosków jest aż nadto pewna. Ich sformułowanie pozwala jednak, na ustalenie jak dalece podjęte badania nie spełniają założonego celu. Ścisłej rzecz biorąc pewien cel został osiągnięty ponieważ powiodło się samo sprawdzenie, ustalenie wniosków i wykluczenie powięcej hipotezy. Wnioski pozwalają też na jednoznaczne odrzucenie pomiaru modułu odkształcenia, jako sposobu mierzenia efektu wzmacnienia warstwy gruntu modelowego podłożu nawierzchni przez warstwę geowłókniny. W każdym przypadku, możliwe są różne interpretacje tego samego zjawiska fizycznego i często, tych samych wyników. Nie mniej zagadnienie podatności i nośności podłożu nawierzchni drogowych jest dość złożone i wieloaspektowe, wymagające wielu różnych badań i pomiarów [12].

BIBLIOGRAFIA

- [1] Frankowska K.: Wykorzystanie geosyntetyków do wzmacniania podłożu nawierzchni drogowych . Cz. II. Przegląd koncepcji opisu teoretycznego. Inżynieria Morska i Geotechnika, nr 5/2005, 391 - 397
- [2] Sobolewski J.: Metody projektowania nawierzchni gruntowych zbrojonych geosyntetykami. Polskie Drogi, nr 12/2006, 72 - 77

- [3] Dobrucki D.: Porównanie metod wzmacniania podłoża nawierzchni drogowej geosyntetykami. *Drogownictwo*, nr 10/2005, 295 - 299
- [4] Kazimierowicz-Frankowska K.: Wykorzystanie geosyntetyków do wzmacniania podłoża nawierzchni drogowych. Cz. I. Przegląd wyników badań doświadczalnych. *Inżynieria Morska i Geotechnika*, nr 4/2005, 340 - 345
- [5] Gradkowski K.: Wzmacnianie podłoża drogowego geosyntetykami. *Drogownictwo*, nr 2/2007, 51 - 55
- [6] Gradkowski K.: Koncepcja wyznaczania podatności lokalnej podłoży nawierzchni komunikacyjnych. Materiały VII Krajowej Konferencji Mechaniki Gruntów i Fundamentowania, Poznań, październik 1984, 150 - 154
- [7] Gradkowski K., Mańko Z.: The set-up of plate index tests and bearing capacity. Proceedings of The International Symposium on Bearing Capacity of Roads and Airfields, Trondheim, Norway, 1982
- [8] Gradkowski K.: Pomiary porównawcze warstwowych struktur podłoży nawierzchni drogowych. Raport z badań. IDiM PW, Warszawa, grudzień 2005, 35
- [9] Stigler-Szydło E.: Posadowienie budowli infrastruktury transportu lądowego. Dolnośląskie Wydawnictwo Edukacyjne, Wrocław 2005, 311
- [10] PN-S-02205: 1998 Drogi samochodowe – Roboty ziemne – Wymagania i badania
- [11] Judycki J.: Podstawy określania współczynników równoważności obciążenia osi do projektowania nawierzchni drogowych. *Drogi i Mosty*, nr 2/2006, 86
- [12] Gradkowski K.: Geotechniczne kryteria jakości projektowania dróg. *Drogownictwo*, nr 11/2006, 371 - 374

FLEXIBILITY OF LAYERS OF MODEL SUBBASE OF PAVEMENT AND STRENGTHENING EFFECT WITH GEOTEXSTILE

Part I

Abstract

This paper presents results of measurements of the deformation modulus of subbase model on the small testing field. This modulus is a measure of flexibility of different kinds of model subbase of road pavement. Comparisons of measurement results revealed few conclusions. The effect of strengthening of ground layer by geotexstile was not proved by obtained results.